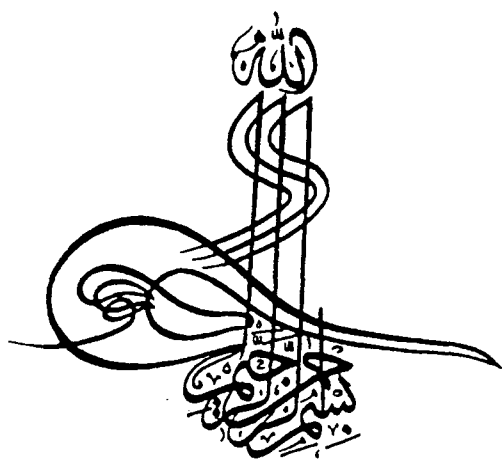


Al 1.1.18



L w

EPIQO



پژوهشگاه بین المللی زلزله شناسی و مهندسی زلزله

۱۳۸۱ / ۷ / ۳۰



پایان نامه کارشناسی ارشد
مهندسی زلزله

موضوع

بررسی تحلیلی رفتار اتصالات صلب تیر به ستون
مرکب تحت بار جانبی زمین لرزه

د/نشجو
اشکان وثوقی

۱۴۰۱۲۵
استاد راهنمای
دکتر بهرخ حسینی هاشمی

استاد مشاور
دکتر فرهاد بهنام فر

تابستان ۱۳۸۱

۱۹۴۲

استاد راهنمای دکتر بهرخ حسینی هاشمی

استاد مشاور: دکتر فرهاد بهنام فر

رئیس تحصیلات تکمیلی: دکتر بهرخ حسینی هاشمی

استاد ممتحن داخلي: دكتور تر

استاد ممتحن خارجی: دکتر شکیب (عضو هیأت علمی دانشگاه تربیت مدرس)



فهرست مطالب

عنوان	صفحه
چکیده	۲
فصل اول: مشخصات اتصالات	۴
۱-۱- مقدمه	۵
۲-۱- مشخصات اصلی یک اتصال	۵
۱-۲-۱- مقاومت اتصال	۵
۲-۲-۱- سختی (صلبیت) اتصال	۵
۱-۲-۲-۱- تعیین میزان صلبیت اتصال بر اساس سختی و تری	۷
۲-۲-۲-۱- تعیین میزان صلبیت اتصال بر اساس مفهوم خط تیر	۷
۳-۲-۱- شکل پذیری اتصال	۸
فصل دوم: مروری بر آزمایشات انجام شده در گذشته	۱۲
۱-۲- مقدمه	۱۳
۲-۲- معرفی اتصالات مدل شده در آزمایشگاه	۱۳
۳-۲- نتایج آزمایشهای انجام گرفته بر روی نمونه های آزمایشی	۱۴
۱-۳-۲- نتایج آزمایشهای نمونه اول (SN1)	۱۴
۲-۳-۲- نتایج آزمایشهای نمونه اول (SN2)	۱۵
۳-۳-۲- نتایج آزمایشهای نمونه اول (SN3)	۱۵
۴-۳-۲- نتایج آزمایشهای نمونه اول (SN4)	۱۵
۵-۳-۲- نتایج آزمایشهای نمونه اول (SN5)	۱۵
۶-۳-۲- نتایج آزمایشهای نمونه اول (SN6)	۱۶
۷-۳-۲- نتایج آزمایشهای نمونه اول (SN7)	۱۶
۸-۳-۲- مقایسه نتایج نمونه ها	۱۶
فصل سوم: تحلیل نمونه آزمایشگاهی SN1 به روش اجزاء محدود	۲۵
۱-۳- مقدمه	۲۶
۲-۳- مدلسازی	۲۶
۱-۲-۳- المانهای مورد استفاده	۲۶
۲-۲-۳- تعیین اندازه المانهای SOLID	۲۷
۱-۲-۲-۳- تحلیل زیر مدل در حالت کششی	۲۷
۲-۲-۲-۳- تحلیل زیر مدل در حالت فشاری	۲۸
۳-۲-۳- تعیین مقدار سختی قائم در المانهای CONTAC52	۲۹

فهرست مطالب

عنوان	صفحه
۴-۲-۳- مش بندی مدل SN1	۳۰
۵-۲-۳- شرایط مرزی و بارگذاری	۳۲
۳-۳- تحلیل غیرخطی	۳۳
۱-۳-۳- معیارهای تسلیم	۳۴
۱-۳-۳-۱- معیار تسلیم ترسکا	۳۴
۲-۱-۳-۳- معیار تسلیم ون میسز	۳۵
۲-۳-۳- قانون جریان	۲۸
۳-۳-۳- قوانین سخت شوندگی	۳۹
۱-۳-۳-۳- سخت شوندگی ایزوتروپیک	۳۹
۲-۳-۳-۳- سخت شوندگی سینماتیک	۴۰
۴-۳- نتیجه گیری	۴۱

فصل چهارم: تحلیل نمونه های مختلف اتصال صلب تیر به ستون مرکب تحت بار جانبی

به روش اجزاء محدود	صفحه
۱-۴- مقدمه	۵۳
۴- نمونه های تحلیلی	۵۴
۴-۱-۲-۴- تحلیل و طراحی یک ساختمان فولادی پنج طبقه	۵۴
۴-۲-۲-۴- طراحی اتصال مبنا	۵۵
۴-۳-۲-۴- تمرکز تنش ناشی از ورق پشت بند	۵۸
۴-۴-۲-۴- مشخصات نمونه های تحلیلی	۶۰
۴-۳-۴- مدلسازی و تحلیل	۶۱
۴-۱-۳-۴- مدلسازی کل نمونه CP10 با المان SHELL	۶۲
۴-۲-۳-۴- مدلسازی نصف نمونه CP10 با المان SHELL	۶۵
۴-۳-۳-۴- مدلسازی نصف نمونه CP10 با المان SOILD	۶۶
۴-۴-۳-۴- مدلسازی سایر نمونه های تحلیلی	۷۱
۴-۵-۳-۴- تأثیر تنشهای سه محوری بر شکل پذیری فولاد	۷۱
۴-۴-۴- شاخصهای تنش و کرنش	۷۲
۴-۱-۴-۴- معرفی شاخصها	۷۲
۴-۲-۴-۴- محل محاسبه شاخصها	۷۴
۴-۳-۴-۴- مشخصات دورانی نمونه های تحلیلی	۷۵
۴-۵-۴- مشخصات دورانی نمونه های تحلیلی	۷۹

فهرست مطالعه

عنوان	صفحه
فصل پنجم: مطالعات موردي و تفسير نتایج	
۱۰۲
۱۰۳ ۱-۵ - مقدمه
۱۰۴ ۲-۵ - مقاومت اتصال
۱۰۴ CP سري - ۱-۲-۵
۱۰۴ CPW سري - ۲-۲-۵
۱۰۵ HST سري - ۳-۲-۵
۱۰۵ HSTW سري - ۴-۲-۵
۱۰۵ VST سري - ۵-۲-۵
۱۰۵ VSTW سري - ۶-۲-۵
۱۰۶ ۳-۵ - سختی صلبت اتصال
۱۰۶ CP سري - ۱-۳-۵
۱۰۶ CPW سري - ۲-۳-۵
۱۰۶ HST سري - ۳-۳-۵
۱۰۶ HSTW سري - ۴-۳-۵
۱۰۷ VST سري - ۵-۳-۵
۱۰۷ VSTW سري - ۶-۳-۵
۱۰۷ ۴-۵ - شکل پذيری اتصال
۱۰۸ CP سري - ۱-۴-۵
۱۰۹ CPW سري - ۲-۴-۵
۱۱۰ HST سري - ۳-۴-۵
۱۱۱ HSTW سري - ۴-۴-۵
۱۱۲ VST سري - ۵-۴-۵
۱۱۲ VSTW سري - ۶-۴-۵
۱۱۳ ۵-۵ - تسلیم چشمه اتصال
۱۱۴ CP سري - ۱-۵-۵
۱۱۵ CPW سري - ۲-۵-۵
۱۱۵ HST سري - ۳-۵-۵
۱۱۶ HSTW سري - ۴-۵-۵
۱۱۶ VST سري - ۵-۵-۵
۱۱۸ VSTW سري - ۶-۵-۵

فهرست مطالب

صفحه	عنوان
	فصل ششم: نتایج و توصیه برای کارهای تحقیقاتی آینده
۱۴۹	۱-۶ - جمع بندی و توصیه های طراحی و اجرایی
۱۵۰	۲-۶ - پیشنهاد برای کارهای تحقیقاتی آینده
۱۵۲	
۱۵۴	مراجع
	پیوست
۱۵۷	پیوست (الف): منحنیهای تغییرات شاخصهای تنش و کرنش در جوشها
۲۳۹	پیوست (ب): منحنیهای مشخصات دورانی نمونه های تحلیلی

فهرست اشکال

صفحه	عنوان
۱۱	شکل (۱-۱): منحنی لنگر- دوران تیپ اتصال برای تعیین ظرفیت و صلبیت اتصال به روش سختی و تبری.....
۱۱	شکل (۲-۱): لنگر و دوران برای معادلات شبیه- افت.....
۱۱	شکل (۳-۱): منحنی لنگر- دوران انواع اتصال و خط تیر برای تعیین صلبیت اتصال
۱۷	شکل (۱-۲): ساختار نمونه آزمایشی
۱۸	شکل (۲-۲): جزئیات اتصال هفت نمونه آزمایشی
۱۹	شکل (۳-۲): منحنی لنگر- دوران نمونه آزمایشی SNI
۲۰	شکل (۴-۲): گسیختگی جوش ورق اتصال در نمونه آزمایشی SNI
۲۰	شکل (۵-۲): گسیختگی جوش ورق تقویتی ستون در نمونه آزمایشی SNI
۲۱	شکل (۶-۲): منحنی لنگر- دوران نمونه آزمایشی SN2
۲۱	شکل (۷-۲): منحنی لنگر- دوران نمونه آزمایشی SN3
۲۲	شکل (۸-۲): منحنی لنگر- دوران نمونه آزمایشی SN4
۲۲	شکل (۹-۲): منحنی لنگر- دوران نمونه آزمایشی SN5
۲۲	شکل (۱۰-۲): منحنی لنگر- دوران نمونه آزمایشی SN6
۲۳	شکل (۱۱-۲): منحنی لنگر- دوران نمونه آزمایشی SN7
۲۴	شکل (۱۲-۲): مقایسه رابطه لنگر- دوران هفت نمونه آزمایشی
۲۴	شکل (۱۳-۲): مقایسه رابطه بار- تغییر مکان هفت نمونه آزمایشی
۴۲	شکل (۱-۳): هندسه و ابعاد زیر مدل.....
۴۲	شکل (۲-۳): زیر مدل مش بندی شده با ۱۰ المان SOLID45 در عرض ورق اتصال (SOLID45-10T)
۴۳	شکل (۳-۳): زیر مدل مش بندی شده با ۲۰ المان SOLID45 در عرض ورق اتصال (SOLID45-20T)
۴۳	شکل (۴-۳): توزیع تنش ون میسز در عرض ورق اتصال کششی دربرستون در زیر مدلها م مختلف
۴۴	شکل (۵-۳): توزیع تنش ون میسز در عرض ورق اتصال فشاری در بر ستون در زیر مدلها م مختلف
۴۴	شکل (۶-۳): توزیع تنش ون میسز در عرض ورق اتصال فشاری زیر مدل SOLID45-20C، به ازای مقادیر مختلف KN
۴۵	شکل (۷-۲): جزئیات نمونه آزمایشگاهی SN1
۴۶	شکل (۸-۳): مدل مش بندی شده نمونه آزمایشگاهی SN1؛ بالا: مدل یک چهارم، پایین: جزئیات اتصال
۴۷	شکل (۹-۳): منحیهای تنش- کرنش؛ (۱): فولاد نرم، (۲): فلز جوش
۴۸	شکل (۱۰-۳): معیار تسلیم ترسکا و ون میسز در حالت تنش دو بعدی
۴۸	شکل (۱۱-۳): سطوح تسلیم در دستگاه مختصات محورهای اصلی تنش
۴۸	شکل (۱۲-۳): صفحات هشت وجهی در دستگاه مختصات محورهای اصلی تنش
۴۹	شکل (۱۳-۳): نمایش شماتیک قانون جریان
۴۹	شکل (۱۴-۳): سطح تسلیم ثانویه برای مصالح سخت شونده ایزوتروپیک
۵۰	شکل (۱۵-۳): سخت شوندگی ایزوتروپیک
۵۰	شکل (۱۶-۳): سطح تسلیم ثانویه برای مصالح سخت شونده سینماتیک
۵۰	شکل (۱۷-۳): سخت شوندگی سینماتیک

فهرست اشکال

عنوان	صفحه
شکل (۱۸-۳): توزیع تنش ون میسز در ناحیه اتصال مدل تحلیلی SNI	۵۱
شکل (۱۹-۳): مقایسه منحنی نیرو- تغییرمکان قائم ستون در نمونه SNI در حالت آزمایشگاهی و تحلیلی	۵۲
شکل (۲۰-۳): مقایسه منحنی لنگر- دوران نمونه SNI در حالت آزمایشگاهی و تحلیلی	۵۲
شکل (۱-۴): پلان تیپ طبقات ساختمان فولادی ۵ طبقه	۸۱
شکل (۲-۴): مقاطع و نسبت تنش موجود به تنش مجاز در قابهای روی محور ۱ و ۵ در ساختمان فولادی ۵ طبقه	۸۲
شکل (۳-۴): جزئیات اتصال تیر طبقه چهارم به ستون واقع بر محور A	۸۳
شکل (۴-۴): سطح جوش نشده ورق پشت بند که مانند ترک گوشه فرض می شود	۸۴
شکل (۵-۴): سه مود بارگذاری روی ترک: مود I (بازشونده)، مود II (برش در صفحه) و مود III (برش خارج از صفحه)	۸۴
شکل (۶-۴): یک ورق با الف: ترک گوشه، ب: ترک میانی	۸۴
شکل (۷-۴): جزئیات نمونه های تحلیلی گروه	۸۵
شکل (۸-۴): جزئیات نمونه های تحلیلی گروه ۲	۸۶
شکل (۹-۴): ساختار تحلیلی نمونه ها	۸۷
شکل (۱۰-۴): مدل مش بندی شده کل نمونه CP10 به وسیله المان SHELL43 و جزئیات اتصال	۸۸
شکل (۱۱-۴): مدل آزمایشی مش بندی شده با المان 43 و SHELL43 و SOLID45 برای یافتن معادلات همسازی مناسب برای شبیه سازی جوش گوشه	۸۹
شکل (۱۲-۴): منحنیهای تنش - کرنش: (۱): فولاد نرم، (۲): فلز جوش	۸۹
شکل (۱۳-۴): مدل مش بندی شده نصف نمونه CP10 به وسیله المان SHELL43	۹۰
شکل (۱۴-۴): منحنی نیرو- تغییرمکان نسبی برای کل نمونه CP10 مش بندی شده با SHELL	۹۰
نصف نمونه CP10 مش بندی شده با SHELL و نصف نمونه CP10 مش بندی شده با SOLID	۹۰
شکل (۱۵-۴): مدل مش بندی شده نصف نمونه CP10 به وسیله المان 45 و SOLID45 و جزئیات اتصال	۹۱
شکل (۱۶-۴): توزیع تنش ون میسز در ناحیه اتصال مدل تحلیلی CP10	۹۲
شکل (۱۷-۴): توزیع تنش هیدرولاستاتیک در ناحیه اتصال مدل تحلیلی CP10	۹۳
شکل (۱۸-۴): توزیع کرنش پلاستیک معادل در ناحیه اتصال نمونه تحلیلی CP10	۹۴
شکل (۱۹-۴): آزمایش کشش ساده برای نمونه هایی با سطح مقطع یکسان. الف: میله استوانهای؛ ب: میله استوانه ای شکافدار	۹۵
شکل (۲۰-۴): مراحل گسیختگی نرم در نمونه فولادی تحت آزمایش کشش ساده	۹۵
شکل (۲۱-۴): مسیرهای محاسبه شاخصهای تنش و کرنش	۹۵
شکل (۲۲-۴): شاخصهای تنش برشی (تنش برشی تقسیم بر تنش تسليم برشی)، میسز و فشار در جوش گوشه در نمونه تحلیلی CP10 به ازای تغییرمکان نسبی ۰/۰۰۵ و ۰/۰۳ رادیان	۹۶

فهرست اشکال

عنوان	صفحه
شكل (۲۳-۴): شاخصهای EPEQ، سه محوری و گسیختگی در جوش گوشه در نمونه تحلیلی CP10 به ازای تغییر مکان نسبی ۰/۰۰۵ و ۰/۰۳ رادیان.....	۹۷
شكل (۲۴-۴): شاخصهای تنش قائم (تنش قائم تقسیم بر تنش تسليم)، میسر و فشار در جوش شیاری در نمونه تحلیلی CP10 به ازای تغییر مکان نسبی ۰/۰۰۵ و ۰/۰۳ رادیان.....	۹۸
شكل (۲۵-۴): شاخصهای EPEQ، سه محوری و گسیختگی در جوش شیاری در نمونه تحلیلی CP10 به ازای تغییر مکان نسبی ۰/۰۰۵ و ۰/۰۳ رادیان.....	۹۹
شكل (۲۶-۴): روش محاسبه زاویه دوران چشمۀ اتصال یا زاویه دوران تیر نسبت به ستون (θ).....	۱۰۰
شكل (۲۷-۴): ۱- دوران اجزاء چشمۀ اتصال بر حسب تغییر مکان نسبی؛ ۲- نسبت دوران اجزاء چشمۀ اتصال بر حسب تغییر مکان نسبی؛ ۳- منحنی لنگر- دوران و خط تبر برای نمونه تحلیلی CP10.....	۱۰۱
شكل (۱-۵): منحنیهای تغییرات نسبت لنگر خمشی در بر ستون به ظرفیت پلاستیک تیر.....	۱۱۹
شكل (۲-۵): منحنیهای تغییرات صلبیت اتصال.....	۱۲۰
شكل (۳-۵): منحنیهای تغییرات حداکثر شاخصهای میسر، EPEQ و گسیختگی در جوش گوشه و جوش شیاری بر حسب نسبت ضخامت به عرض ورق پوششی در سری CP.....	۱۲۱
شكل (۴-۵): منحنیهای تغییرات حداکثر شاخصهای میسر، EPEQ و گسیختگی در جوش گوشه و جوش شیاری بر حسب نسبت ضخامت به عرض ورق پوششی در سری CPW.....	۱۲۲
شكل (۵-۵): منحنیهای تغییرات حداکثر شاخصهای میسر، EPEQ و گسیختگی در جوش گوشه و جوش شیاری بر حسب نسبت ضخامت سخت کننده افقی به ضخامت ورق اتصال بال در سری HST.....	۱۲۳
شكل (۶-۵): منحنیهای تغییرات حداکثر شاخصهای میسر، EPEQ و گسیختگی در جوش گوشه و جوش شیاری بر حسب نسبت ضخامت سخت کننده افقی به ضخامت ورق اتصال بال در سری HSTW.....	۱۲۴
شكل (۷-۵): منحنیهای تغییرات حداکثر شاخصهای میسر، EPEQ و گسیختگی در جوش گوشه و جوش شیاری بر حسب نسبت ضخامت سخت کننده قائم به مجموع ضخامت‌های جان پروفیلهای ستون در سری VST.....	۱۲۵
شكل (۸-۵): منحنیهای تغییرات حداکثر شاخصهای میسر، EPEQ و گسیختگی در جوش گوشه و جوش شیاری بر حسب نسبت ضخامت سخت کننده قائم به مجموع ضخامت‌های جان پروفیلهای ستون در سری VSTW.....	۱۲۶
شكل (۹-۵): منحنیهای تغییرات تنش برشی، شاخص میسر و شاخص EPEQ بر حسب دوران کل اتصال در وسط چشمۀ اتصال در نمونه CP10.....	۱۲۷
شكل (۱۰-۵): منحنیهای تغییرات تنش برشی، شاخص میسر و شاخص EPEQ بر حسب دوران کل اتصال در وسط چشمۀ اتصال در نمونه CP12.....	۱۲۸
شكل (۱۱-۵): منحنیهای تغییرات تنش برشی، شاخص میسر و شاخص EPEQ بر حسب دوران کل اتصال در وسط چشمۀ اتصال در نمونه CP15.....	۱۲۹

فهرست اشکال

صفحه	عنوان
	شکل (۱۲-۵): منحنیهای تغییرات تنش برشی، شاخص میسر و شاخص EPEQ بر حسب دوران کل اتصال در وسط چشمۀ اتصال در نمونه CP20
۱۳۰	
	شکل (۱۳-۵): منحنیهای تغییرات تنش برشی، شاخص میسر و شاخص EPEQ بر حسب دوران کل اتصال در وسط چشمۀ اتصال در نمونه CP10W
۱۳۱	
	شکل (۱۴-۵): منحنیهای تغییرات تنش برشی، شاخص میسر و شاخص EPEQ بر حسب دوران کل اتصال در وسط چشمۀ اتصال در نمونه CP12W
۱۳۲	
	شکل (۱۵-۵): منحنیهای تغییرات تنش برشی، شاخص میسر و شاخص EPEQ بر حسب دوران کل اتصال در وسط چشمۀ اتصال در نمونه CP15W
۱۳۳	
	شکل (۱۶-۵): منحنیهای تغییرات تنش برشی، شاخص میسر و شاخص EPEQ بر حسب دوران کل اتصال در وسط چشمۀ اتصال در نمونه CP20W
۱۳۴	
	شکل (۱۷-۵): منحنیهای تغییرات تنش برشی، شاخص میسر و شاخص EPEQ بر حسب دوران کل اتصال در وسط چشمۀ اتصال در نمونه HST05
۱۳۵	
	شکل (۱۸-۵): منحنیهای تغییرات تنش برشی، شاخص میسر و شاخص EPEQ بر حسب دوران کل اتصال در وسط چشمۀ اتصال در نمونه HST10
۱۳۶	
	شکل (۱۹-۵): منحنیهای تغییرات تنش برشی، شاخص میسر و شاخص EPEQ بر حسب دوران کل اتصال در وسط چشمۀ اتصال در نمونه HST05W
۱۳۷	
	شکل (۲۰-۵): منحنیهای تغییرات تنش برشی، شاخص میسر و شاخص EPEQ بر حسب دوران کل اتصال در وسط چشمۀ اتصال در نمونه HST10W
۱۳۸	
	شکل (۲۱-۵): منحنیهای تغییرات تنش برشی، شاخص میسر و شاخص EPEQ بر حسب دوران کل اتصال در وسط چشمۀ اتصال در نمونه VST06
۱۳۹	
	شکل (۲۲-۵): منحنیهای تغییرات تنش برشی، شاخص میسر و شاخص EPEQ بر حسب دوران کل اتصال در وسط چشمۀ اتصال در نمونه VST066
۱۴۰	
	شکل (۲۳-۵): منحنیهای تغییرات تنش برشی، شاخص میسر و شاخص EPEQ بر حسب دوران کل اتصال در وسط چشمۀ اتصال در نمونه VST08
۱۴۱	
	شکل (۲۴-۵): منحنیهای تغییرات تنش برشی، شاخص میسر و شاخص EPEQ بر حسب دوران کل اتصال در وسط چشمۀ اتصال در نمونه VST10
۱۴۲	
	شکل (۲۵-۵): منحنیهای تغییرات تنش برشی، شاخص میسر و شاخص EPEQ بر حسب دوران کل اتصال در وسط چشمۀ اتصال در نمونه VST06W
۱۴۳	
	شکل (۲۶-۵): منحنیهای تغییرات تنش برشی، شاخص میسر و شاخص EPEQ بر حسب دوران کل اتصال در وسط چشمۀ اتصال در نمونه VST066W
۱۴۴	
	شکل (۲۷-۵): منحنیهای تغییرات تنش برشی، شاخص میسر و شاخص EPEQ بر حسب دوران کل اتصال در وسط چشمۀ اتصال در نمونه VST08W
۱۴۵	

فهرست اشکال

صفحه	عنوان
۱۴۶	شکل (۲۸-۵): منحنیهای تغییرات تنش برشی، شاخص میسر و شاخص EPEQ بر حسب دوران کل اتصال در وسط چشمۀ اتصال در نمونه VST10W
۱۴۷	شکل (۲۹-۵): منحنیهای تغییرات تنش برشی، شاخص میسر و شاخص EPEQ بر حسب دوران کل اتصال در وسط چشمۀ اتصال در نمونه VST12W
۱۴۸	شکل (۳۰-۵): پیچش در جان ستون در محدوده چشمۀ اتصال در نمونه CP20W (بزرگنمایی ۵ برابر)
۱۴۸	شکل (۳۱-۵): تشکیل مفصل پلاستیک در تیر در انتهای ورق اتصال بال در نمونه VST066 (توزیع کرنش پلاستیک معادل)

فهرست جداول

صفحه	عنوان
٦١	جدول (٤-٤): جزئیات نمونه های تحلیلی گروه ١
٦٢	جدول (٤-٢): جزئیات نمونه های تحلیلی گروه ٢
٧٦	جدول (٤-٣): حداکثر مقدار شاخصها در جوش گوشه نمونه های تحلیلی گروه ١ در تغییر مکان نسبی ٠/٠٠٥ رادیان
٧٦	جدول (٤-٤): حداکثر مقدار شاخصها در جوش شیاری نمونه های تحلیلی گروه ١ در تغییر مکان نسبی ٠/٠٠٥ رادیان
٧٧	جدول (٤-٥): حداکثر مقدار شاخصها در جوش گوشه نمونه های تحلیلی گروه ٢ در تغییر مکان نسبی ٠/٠٠٥ رادیان
٧٧	جدول (٤-٦): حداکثر مقدار شاخصها در جوش شیاری نمونه های تحلیلی گروه ٢ در تغییر مکان نسبی ٠/٠٠٥ رادیان
٧٧	جدول (٤-٧): حداکثر مقدار شاخصها در جوش گوشه نمونه های تحلیلی گروه ١ در تغییر مکان نسبی ٠/٠٣ رادیان
٧٨	جدول (٤-٨): حداکثر مقدار شاخصها در جوش شیاری نمونه های تحلیلی گروه ١ در تغییر مکان نسبی ٠/٠٣ رادیان
٧٨	جدول (٤-٩): حداکثر مقدار شاخصها در جوش گوشه نمونه های تحلیلی گروه ٢ در تغییر مکان نسبی ٠/٠٣ رادیان
٧٨	جدول (٤-١٠): حداکثر مقدار شاخصها در جوش شیاری نمونه های تحلیلی گروه ٢ در تغییر مکان نسبی ٠/٠٣ رادیان
٧٩	جدول (٤-١١): پتانسیل شروع گسیختگی و نوع گسیختگی در کلیه نمونه های تحلیلی

چکیده

در ایران به علت محدودیت تولید نیمرخهای نورد شده، اغلب از ترکیب دو نیمرخ *IPB* که به وسیله ورق تقویتی سراسری یا تعدادی تسمه با فاصله مشخص به یکدیگر متصل شده‌اند، استفاده می‌گردد. اگر برای اتصال تیر به اینگونه ستونها از اتصال صلب استفاده شود، تیرها معمولاً به وسیله ورقهای اتصال بال و ورق اتصال جان به ورق تقویتی سراسری ستون یا ورق پوششی در ناحیه اتصال متصل می‌شوند که این ورقها نیز به وسیله دو خط جوش گوشه در کناره‌های خود به پروفیلهای ستون متصل می‌گردند. بنابراین رفتار این نوع از اتصالات با اتصال صلب تیر به ستون با مقطع *IPB* که بالهای تیر به وسیله ورق اتصال و یا به صورت مستقیم به بال ستون متصل شده‌اند، متفاوت می‌باشد. در مبحث دهم مقررات ملی ساختمانی ایران و نیز سایر کتب طراحی، اغلب ضوابط ارائه شده برای اتصالات صلب، مربوط به ستونهای دارای مقطع *IPB* می‌باشد. بنابراین لازم است که در زمینه اتصالات صلب تیر به ستونهای مرکب و رفتار لرزه‌ای آنها، تحقیقات جامعی صورت گیرد.

در این پایان نامه اتصال صلب یک طرفه تیر به ستون مرکب تحت بار جانبی زلزله (دو نیمرخ *IPB* و تعدادی تسمه با فاصله مشخص) به وسیله تحلیل استاتیکی غیرخطی به روش اجزاء محدود مورد بررسی قرار گرفته است. برای حصول اطمینان از فرضیات مورد استفاده در تحلیل، یکی از ۷ نمونه آزمایش شده در سال ۱۳۷۳ در بخش سازه مرکز تحقیقات ساختمان و مسکن مورد تحلیل قرار گرفته و نتایج آن با نتایج آزمایش مقایسه شده است. پس از آن چندین مدل تحلیلی ساخته شده که در هر یک از آنها با تغییر دادن یکی از مشخصات هندسی اتصال، اثر آن بر سه مشخصه اصلی اتصال یعنی مقاومت، سختی(صلبیت) و شکل پذیری و همچنین نحوه تسلیم چشمی اتصال در طول بارگذاری ارزیابی شده است. به عنوان یک طرح جدید، در بعضی از مدلها از یک سخت‌کننده قائم با ضخامت‌های مختلف استفاده شده و اثر آن بر رفتار اتصال و نحوه تعیین ضخامت آن تشریح شده است. از دیگر مشخصات هندسی اتصال که مدنظر قرار گرفته‌اند، عرض و ضخامت ورق پوششی در محل اتصال وجود و یا عدم وجود سخت‌کننده‌های افقی و ضخامت آنها می‌باشد.

برای بررسی مقاومت هر یک از نمونه‌ها از منحنی لنگر- دوران، و برای بررسی سختی (صلبیت) هر یک از نمونه‌ها از تقاطع منحنی لنگر- دوران و خط تیر استفاده شده است. برای بررسی شکل پذیری هر یک از نمونه‌ها از چند شاخص تنش و کرنش استفاده شده که با توجه به نحوه توزیع آنها در مسیرهای بحرانی (جوشهای)، پتانسیل گسیختگی هر نمونه مورد ارزیابی قرار گرفته است. برای ارزیابی نحوه تسلیم چشمی اتصال نیز از منحنی تغییرات بعضی از شاخصهای مذکور در

مرکز چشمه اتصال در طول بارگذاری استفاده شده است.

در مجموع با بررسی نتایج، استفاده از سخت‌کننده قائم به خاطر بهبود بخشیدن به رفتار اینگونه اتصالات، توصیه می‌شود و استفاده از سخت‌کننده‌های افقی به خاطر بی‌اثر بودن آنها و بعض‌اً افزایش پتانسیل گسیختگی در اینگونه اتصالات، توصیه نمی‌شود. همچنین توصیه‌هایی نیز برای تعیین عرض و ضخامت مناسب برای ورق پوششی در محل اتصال ارائه شده است.